

Из электронномикроскопических снимков на рис.1а видно обширное скопление наночастиц Cr_2O_3 с размером 5 нм. Микродифракционная картина представлена кольцами (JCPDS, 38-1479). На рис.1б показано скопление рыхлых хлопьевидных частиц ($D=7\text{-}20\text{ нм}$), микродифракционная картина представлена кольцами и может быть отнесена к CrOOH (JCPDS, 20-32). На рис.1в виден агрегат из полупрозрачных пластинчатых частиц, покрытых мелкими образованиями ($\sim 10\text{ нм}$), согласно микродифракционной картине их можно отнести к CrO_3 (JCPDS, 32-285).

На рис.1с присутствуют полупрозрачные кристаллы удлиненной формы, с хорошо выраженной огранкой.

Микродифракционная картина представлена симметричными рефлексами и соответствует CrSiO_4 с дисперсностью 30-40нм.

Проведено ЭПР – спектрометрическое исследование Cr/SiO_2 катализаторов (табл.1). В таблице приведены результаты двух (J' и J'') независимых измерений. Обнаружены спектры широкого ($\Delta H_w = 670$ гаусс) симметрического ЭПР сигнала большой интенсивности и узкого ($\Delta H_y = 27$

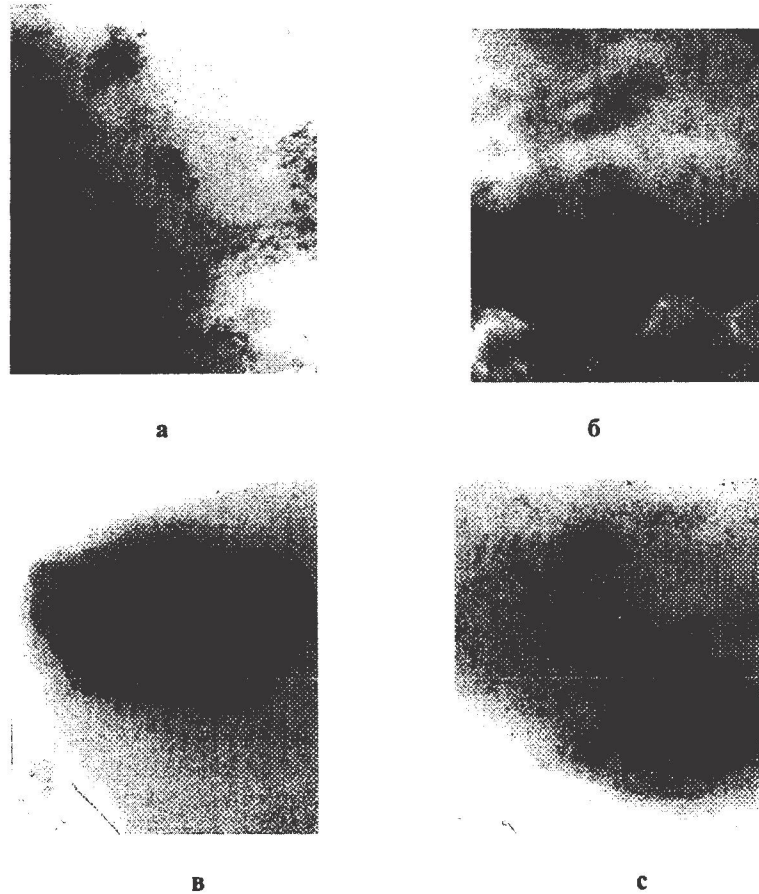


Рис.1. Электронно-микроскопические снимки 5%Cr/SiO₂ катализатора (увеличение 120000)

Таблица 1. Изменение относительной интенсивности (J') широкого(ш) и узкого(у) ЭПР сигнала для катализаторов Cr/SiO₂ в зависимости от содержания хрома. ($t_{np} = 550^\circ\text{C}.$)

| Содержание Cr, % | Интенсивность сигналов, ус.ед. | | | |
|------------------|--------------------------------|-----------------|---------|------------------|
| | J'_y | $J'_{\text{ш}}$ | J''_y | $J''_{\text{ш}}$ |
| 10 | 151 | 227 | 145 | 213 |
| 7 | 131 | 82 | 127 | 82 |
| 5 | 164 | 59 | 142 | 55 |
| 2 | 56 | 9 | 53 | 10 |